

## 背骨型斷面 柱狀體의 自由水面에서의 비중振動에 對한 二次元的 附加慣性모우먼트의 計算

\*李 起 枝 · \*梁 永 淳

A Note on the Two-Dimensional Added Mass Moment of Inertia in Torsional  
Vibration of Cylinders of Curvilinear-Element Sections with Chines.

by

\*Key P. Rhee · \*Y. S. Yang

### Abstract

A Calculation of the two dimensional added mass moment of inertia for the Kim's chine form sections is made with a special consideration of a location of an axis of rotation.

The results are compared with those of Lewis form section equivalent to the above chine form sections calculated by Kumai.

### 1. 緒 言

船體의 비중固有振動數를 計算하는데 있어서는 물의 附加慣性모우먼트의 分布를 알아야 한다.

Lewis 斷面 柱狀體에 對한 二次元의 計算은 Kumai [1]가 行한 바 있다. 本論文에서는 Kumai의 解析方法에 따라서 金[2]의 單一 背骨型과 複背骨型斷面에 對한 計算을 하고 Kumai의 Lewis 斷面에 對한 結果와 比較하여 斷面의 變化에 對한 影響을 考察하였다.

### 2. 斷面形狀

寫像函數

$$\left. \begin{aligned} Z &= M(\zeta + a_1\zeta^{-1} + a_m\zeta^{-m}) \\ \text{但, } Z &= x+iy \\ \zeta &= e^{\alpha}e^{i\theta} = e^{i\theta} \text{ for } \alpha=0 \text{ (單位圓)} \end{aligned} \right\} \quad (1)$$

에서 金의 單一 背骨型斷面은  $m=7$ , 複背骨型斷面은  $m=11$ ,  $0 < a_m \leq \frac{1}{m}$ 이며,  $M$ 은 斷面의 scale factor이다.

(1)로 부터

$$\left. \begin{aligned} x &= M \left[ e^{\alpha} \cos \theta + -e^{-\alpha} a_1 \cos \theta + (-1)^{\frac{m+1}{2}} e^{-m\alpha} a_m \cos m\theta \right] \\ y &= M \left[ e^{\alpha} \sin \theta - e^{-\alpha} a_1 \sin \theta + (-1)^{\frac{m-1}{2}} e^{-m\alpha} a_m \sin m\theta \right] \end{aligned} \right\} \quad (2)$$

(2)에서  $\alpha=0$ 가  $Z$ -面에서 斷面形狀을 決定해 주며,  $\theta=0$  및  $\pi$ 가 自由水面에 該當한다. 斷面의 半幅 吃水比를  $H_0$ , 斷面積係數를  $\sigma$ 라고 하면

$$H_0 = \frac{b}{d} = \frac{1+a_1+a_m}{1-a_1+a_m} \quad (3)$$

$$\sigma = \frac{S}{2bd} = \frac{\pi}{4} \frac{(1-a_1^2-ma_m^2)}{(1-a_1+a_m)(1+a_1+a_m)} \quad (4)$$

(1)의 依해서 얻어지는 背骨型斷面에 對하여, 等角寫像條件을 充足시키기 위한 諸條件式에 關해서는 文獻[2]에 詳細히 說明되어 있다.

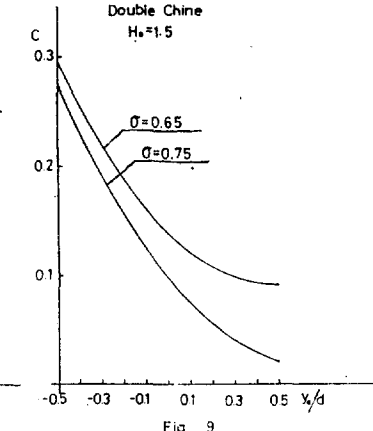
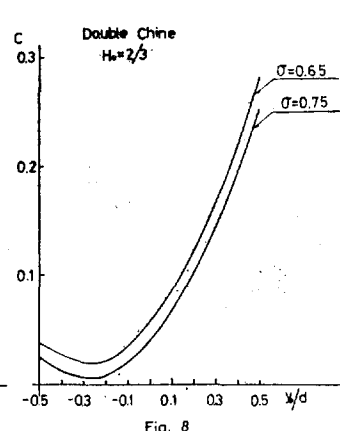
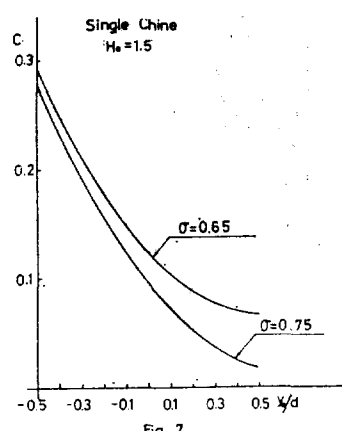
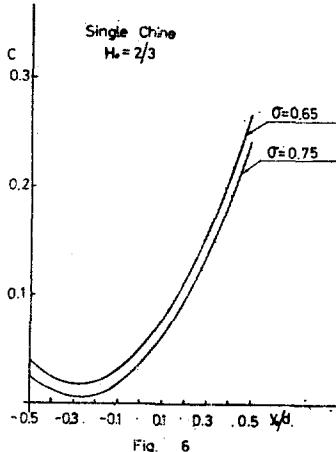
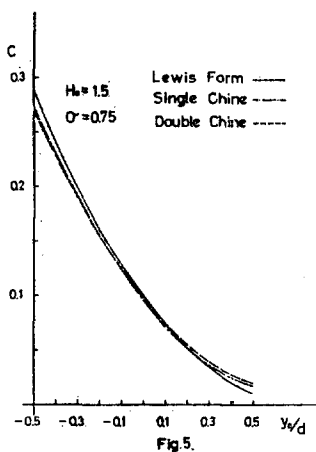
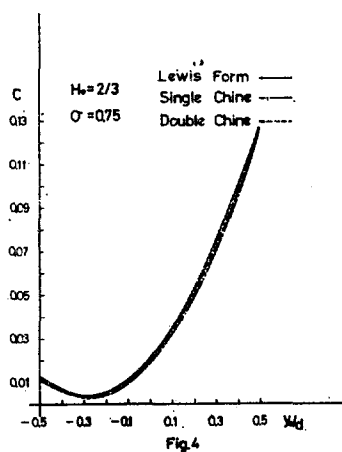
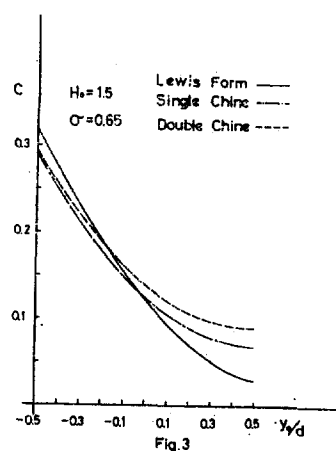
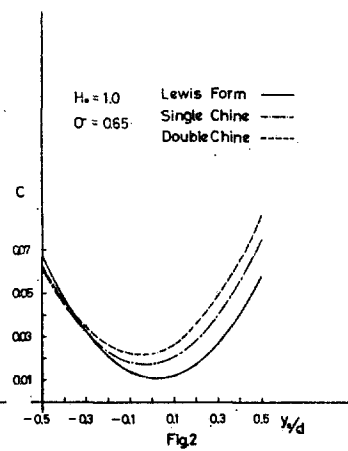
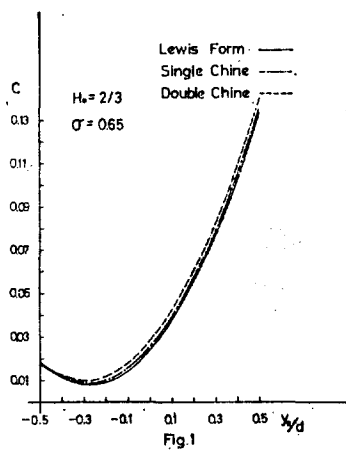
### 3. 附加慣性 모우먼트

理想流體의 自由表面에서 金의 背骨型 斷面柱狀體가 自由水面으로부터  $y=y_0$ 만큼 떨어져 있는 軸 即  $x=0$ ,  $y=y_0$ 로 定義되는 軸을 延轉軸으로하여 高振動數로 延轉振動을 할 때의 二次元의 附加慣性모우먼트 係數는 Kumai가 Lewis 斷面柱狀體에 對해서 解析한 方法을 製用하면 다음과 같이 얻어진다. (附錄參照)

單一背骨型斷面( $a_1, a_7$ )에 對해서

$$C = \frac{4I}{\rho \pi d^4} = \frac{2 \sum_{n=1}^{\infty} n A_{2n}^2}{(1-a_1+a_7)^4} \quad (5)$$

$$\left. \begin{aligned} \text{但, } A_{2n} &= \left[ a_1 - \frac{4}{\pi} \frac{y_0}{M} \left( \frac{1-a_1}{3} + \frac{7a_7}{45} \right) \right] \\ A_4 &= -\frac{4}{\pi} \frac{y_0}{M} \left( \frac{1-a_1}{15} + \frac{7a_7}{33} \right) \\ A_6 &= a_1 a_7 - \frac{4}{\pi} \frac{y_0}{M} \left( \frac{1-a_1}{35} + \frac{7a_7}{13} \right) \\ A_8 &= a_7 - \frac{4}{\pi} \frac{y_0}{M} \left( \frac{1-a_1}{63} - \frac{7a_7}{15} \right) \end{aligned} \right\} \quad (6)$$



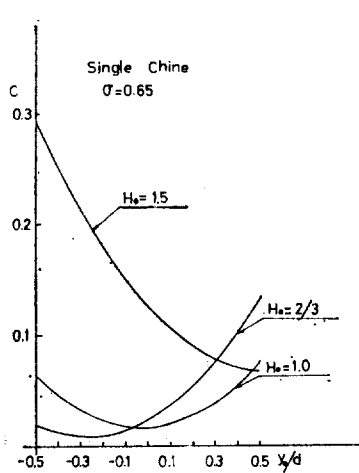


Fig. 10

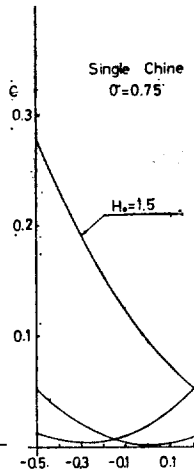


Fig. 11

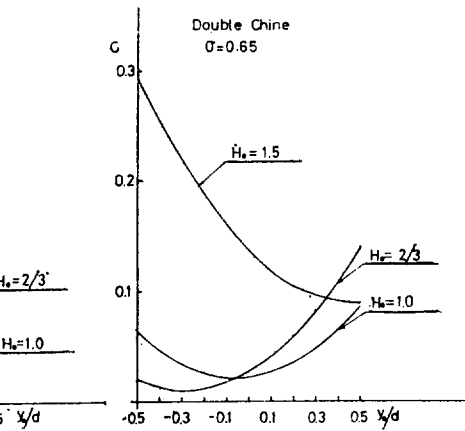


Fig. 12

$$A_{2n} = -\frac{4}{\pi} \frac{y_0}{M} \left( \frac{1-a_1}{4n^2-1} - \frac{7a_1}{4n^2-49} \right); n \geq 5 \quad (6)$$

複背骨型 斷面 ( $a_1, a_{11}$ )에 對해서

$$C = \frac{2 \sum_{n=1}^{\infty} n A_{2n}^2}{(1-a_1+a_{11})^4} \quad (7)$$

$$\text{但}, A_2 = a_1 - \frac{4}{\pi} \frac{y_0}{M} \left( \frac{1-a_1}{3} + \frac{11a_{11}}{117} \right)$$

$$\begin{cases} A_4 \\ A_5 \\ A_6 \end{cases} A_{2n} = -\frac{4}{\pi} \frac{y_0}{M} n \left( \frac{1-a_1}{4n^2-1} - \frac{11a_{11}}{4n^2-121} \right) ; n=2, 3, 4$$

$$A_{10} = a_1 a_{11} - \frac{4}{\pi} \frac{y_0}{M} \left( \frac{1-a_1}{99} + \frac{11a_{11}}{21} \right)$$

$$A_{12} = a_{11} - \frac{4}{\pi} \frac{y_0}{M} \left( \frac{1-a_1}{143} - \frac{11a_{11}}{23} \right)$$

$$A_{2n} = -\frac{4}{\pi} \frac{y_0}{M} n \left( \frac{1-a_1}{4n^2-1} - \frac{11a_{11}}{4n^2-121} \right); n \geq 7 \quad (8)$$

#### 4. 計算結果 및 考察

Lewis 斷面 ( $a_1, a_3$ ), 金의 單一背骨型斷面 ( $a_1, a_3$ ) 및 複背骨型斷面 ( $a_1, a_{11}$ )에 對하여  $H_0$ ,  $\sigma$  와  $y_0/d$  를 變化시켜면서 그들 斷面 柱狀體의 回轉振動에 對한 二次元의 附加慣性 모우먼트係數 (5), (7)을 서울大學校 工科大學 IBM 1130 計算組織을 使用해서 計算하였다.

上記의 세 가지 型의 斷面에 對해서  $\sigma=0.65, 0.75$  的 境遇에 對해  $H_0$  를  $2/3, 1.0, 1.5$ 로 變化시키면서  $C$  를 計算한 結果를 Fig. 1~Fig. 5에 圖示하였고, 背骨型 斷面에 對해서  $H_0=2/3, 1.5$ 인 境遇에  $\sigma$  를  $0.65, 0.75$ 로 變化시키면서 計算한 結果를 Fig. 6~Fig. 9에 圖示하였고, 또  $\sigma=0.65, 0.75$ 에 對해서  $H_0$  를  $2/3, 1.0, 1.5$ 로 變化시키면서 計算한 算果를 Fig. 10~Fig. 13에 圖示하였다.

以上의 計算結果로 부터 다음과 같은 것을 알 수 있

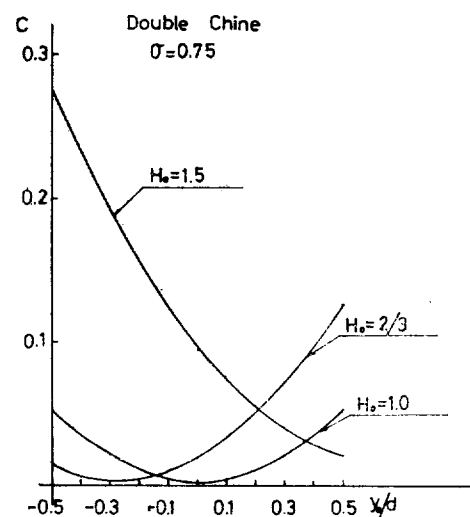


Fig. 13

(1) 二次元의 附加慣性 모우먼트 係數  $C$ 는 Lewis型에 對한 Kumai의 結果와 마찬가지로 背骨型斷面에 對해서도 壓轉中心의 位置에 따라 扶束型으로 變한다.  $C$ 는  $H_0$ 나  $\sigma$ 의 値보다도  $y_0/d$  即回轉中心의 位置에 가장 큰 影響을 받으며,  $\sigma$ 의 影響이 가장 작다.

(2) 斷面積係數  $\sigma$ 가 커질수록 세 가지 斷面 사이의 差異는 微小하다.

(3) 같은  $H_0$ , 같은  $\sigma$ 의 斷面形狀에 對해서는 二次元의 附加慣性 모우먼트 係數는  $y_0/d$ 가 陽일 때에는 대체로 Lewis 斷面, 單一背骨型斷面, 複背骨型斷面의 順으로 커지나  $\sigma$ 가 0.75 即肥大斷面에 對해서는  $H_0=2/3$  일때 前記 順序가 逆으로 되는데 그 差은 微小하다.

(4)  $H_0$ 가 一定하고  $\sigma$ 가 變할때에  $C$ 는 背骨型斷面의 境遇에는 細形斷面이 肥大斷面보다 큰 値을 가진다.

(5) 一定한  $\sigma$ 에 대해서  $H_0$ 가 큰 경遇에는  $y_0/d$ 가 음일때  $C$ 가 큰 값을 가지나  $H_0$ 가 작은 경遇에는  $y_0/d$ 가 양일때  $C$ 가 큰 값을 가진다.

## 5. 結論

以上의 計算結果로 부터 비振動에 있어서 二次元的 附加慣性모우먼트 係數  $C$ 는 半幅一吃水比  $H_0$ , 斷面積係數  $\sigma$ , 延轉의 中心位置  $y_0/d$ 에 依存하며, 特히  $\sigma$ 의 影響보다  $y_0/d$ ,  $H_0$ 의 影響을 많이 받는다.

二次元的 附加慣性 모우먼트係數  $C$ 는  $H_0$ ,  $\sigma$ 가 같을때 斷面의 形狀에는 크게 依存하지 않으며,  $y_0/d$ 의 値에 따라 포물선 形으로 變한다.

## 後記

本論文作成에 많은 指導를 하여주신 黃宗屹, 金極天 教授님께 感謝를 드린다.

## 參考文獻

- [1] T. Kumai : "Added Mass Moment of Inertia Induced by Torsional Vibration of Ships", Reports of Research Institute for Applied Mechanics, Kyushu Univ., Vol. VII, No. 28, 1959.
- [2] K.C. Kim : "Added Mass for both Vertical and Horizontal Vibration of Two-Dimensional Cylinders of Curvilinear-Element Sections with Chines in a Free Surface", J. of the Society of Naval Architects of Korea, Vol. 6, No. 1, 1969.

## 附錄

### I. 基礎方程式과 境界條件

背骨型斷面 柱狀體가 完全流體의 自由水面에서  $Z$ 軸과 平行한 軸을 延轉軸으로 하여 微小回轉振動

$$\theta = \varphi \cos \omega t \quad (I-1)$$

을 하고 있다고 하자.

이때에 流體의 連續方程式은

$$\nabla^2 \phi = 0 \quad (I-2)$$

自由水面에서의 境界條件은  $\omega \rightarrow \infty$  일때

$$\phi = 0 \quad (\theta = 0, \pi) \quad (I-3)$$

無限遠方에서의 境界條件은

$$\phi \rightarrow 0 \quad (\alpha \rightarrow \infty) \quad (I-4)$$

物體表面 即  $\alpha = 0$ 인 面에 接하고 있는 流體의 法線方向의 速度는

$$\left( \frac{\partial \phi}{\partial n} \right)_{\alpha=0} = \left( h \frac{\partial \phi}{\partial \alpha} \right)_{\alpha=0}$$

柱狀體 表面에서의 振動速度의 法線方向成分은 延轉中心의 水線과의 거리를  $y_0$ 라고 하면

$$\mathcal{C} \omega x h \left[ \frac{\partial y}{\partial \alpha} - (y + y_0) h \frac{\partial x}{\partial \alpha} \right]_{\alpha=0} \cos \omega t = \left( \frac{\partial \phi}{\partial n} \right)_{\alpha=0} \quad (I-5)$$

단,  $\left( h \frac{\partial y}{\partial \alpha} \right)_{\alpha=0}$ ,  $\left( h \frac{\partial x}{\partial \alpha} \right)_{\alpha=0}$ 는 柱狀體表面에서 그은 法

線의 方向餘弦, 따라서 物體表面에 對한 境界條件은

$$\mathcal{C} \omega \left[ x h \frac{\partial y}{\partial \alpha} - (y + y_0) h \frac{\partial x}{\partial \alpha} \right]_{\alpha=0} \cos \omega t = \left( h \frac{\partial \phi}{\partial \alpha} \right)_{\alpha=0} \quad (I-6)$$

### II. 附加慣性모우먼트

境界條件 (I-3)과 (I-4)를 滿足하는 連續方程式 (I-2)의 解는

$$\phi = -\mathcal{C} \omega M^2 \sum_{n=1}^{\infty} A_{2n} e^{-2n\omega t} \sin 2n\theta \cdot \cos \omega t \quad (II-1)$$

로 取할 수 있으며, 係數  $A_{2n}$ 은 境界條件 (I-6)을 滿足하도록 決定하면 된다.

(I-6)과 (II-1)에서  $A_{2n}$ 을 決定하면, 單一背骨型斷面 ( $a_1, a_7$ )에 對해서는 本文의 (6)式, 複背骨型 斷面 ( $a_1, a_{11}$ )에 對해서는 本文의 (8)式이 成立된다.

柱狀體周圍의 물의 運動이 너지는

$$T = -\frac{c}{2} \int_0^{\pi} \left( \phi \frac{\partial \phi}{\partial \alpha} \right)_{\alpha=0} d\theta \quad (II-2)$$

(II-1)과 (II-2)로 부터

$$T_{\max} = (\mathcal{C} \omega)^2 M^4 \pi \sum_{n=1}^{\infty} n A_{2n}^2 \quad (II-3)$$

또한,

$$T_{\max} = \frac{1}{2} \Delta I (\mathcal{C} \omega)^2 \quad (II-4)$$

이므로, (II-3), (II-4)에서  $\Delta I$ 를 구하면 아래와 같다.

$$\Delta I = 2\mathcal{C} \omega M^4 \sum_{n=1}^{\infty} n A_{2n}^2 \quad (II-5)$$

이제, 二次元的 附加慣性모우먼트 係數  $C$ 를

$$C = \frac{\Delta I}{\rho \pi d^4} \quad (II-6)$$

와 같이 定義하면

$$C = 2 \left( \frac{M}{d} \right)^4 \sum_{n=1}^{\infty} n A_{2n}^2 \quad (II-7)$$

따라서, 單一背骨型斷面에 對해서는

$$C = 2 \frac{\sum_{n=1}^{\infty} n A_{2n}^2}{(1 - a_1 + a_7)^4} \quad (II-8)$$

複背骨型 斷面에 對해서는

$$C = 2 \frac{\sum_{n=1}^{\infty} n A_{2n}^2}{(1 - a_1 + a_{11})^4} \quad (II-9)$$